

## ПЕРЕХОД ОТ САМООРГАНИЗАЦИИ К ХАОСУ В ДВУМЕРНЫХ РЕШЕТКАХ МАГНИТНЫХ ДОМЕНОВ С ГРАНИЦАМИ В ФОРМЕ КРИВЫХ КАССИНИ

*Ф.В.Лисовский, Е.Г.Мансветова, Е.П.Николаева*

*Институт радиотехники и электроники РАН  
141120 Фрязино, Московская обл., Россия*

Поступила в редакцию 6 апреля 1993 г.

Методом высокоскоростной фотографии изучены динамические свойства цилиндрических магнитных доменов в двумерных решетках с описываемой пространственными группами  $P6$  и  $P6_2$  симметрией, возникающих в процессе самоорганизации под действием импульсного поля подмагничивания. Обнаружен эффект деления доменов, определяющий сценарий перехода от режима самоорганизации к хаосу, и показано, что на всех стадиях движения форма доменных границ хорошо описывается кривыми Кассини.

Ранее сообщалось об обнаружении новых типов самоорганизации магнитного момента в пленках ферритов-гранатов с большой константой одноосной анизотропии  $\beta_u$  под действием монополярных импульсов поля подмагничивания [1-3]. Было установлено, что важнейшую роль в возникновении явления самоорганизации играет аномальная квазиэллиптическая мода пульсационных колебаний цилиндрических магнитных доменов (ЦМД), характеризующаяся периодическим изменением ориентации большой оси симметрии доменов на  $\pi/2$ . При превышении некоторого критического значения амплитуды  $\dot{H} = \dot{H}_{cr}$  (или длительности  $\tau_p = \tau_p^{(cr)}$ ) импульса поля подмагничивания самоорганизация прекращается и происходит переход к хаотическому режиму движения доменов.

В настоящей работе приведены результаты исследования сценария перехода от режима самоорганизации к режиму хаотического движения доменов, полученные методом высокоскоростной фотографии с двухимпульсной подсветкой и временем экспозиции  $\simeq 10$  нс. В опытах использовалась пленка феррита-граната состава  $(YBi)_3(FeGa)_5O_{12}$  толщиной 8,2 мкм на подложке из  $Gd_3Fe_5O_{12}$  с ориентацией (111), имеющая период лабиринтной доменной структуры (ДС) 54,3 мкм, константу одноосной анизотропии  $\beta_u \simeq 10^3$ , намагниченность  $M \simeq 5$  Гс и поле коллапса ЦМД 18,6 Э. Импульсы магнитного поля длительностью  $\tau_p = 4$  мс, создаваемые плоской катушкой с внутренним диаметром 1 мм, имели примерно треугольную форму с длительностью фронта  $\tau_r$  и среза  $\tau_f$  около 2 мкс; поле  $\dot{H}$  было направлено по нормали к пленке.

Эксперименты проводились следующим образом. Сначала в пленке в режиме самоорганизации при амплитуде импульсов  $|\dot{H}| < |\dot{H}_{cr}|$  создавалась и "замораживалась" (путем отключения генератора импульсов) динамически устойчивая ДС с симметрией, описываемой пространственной группой  $C_{2mm}2$  или  $P6mm$  (для статических ДС -  $P6_2$  или  $P6$ ). Затем генерировался одиночный импульс поля подмагничивания с амплитудой  $|\dot{H}| = |\dot{H}_{cr}| + \delta H$ , незначительно ( $\delta H \ll |\dot{H}_{cr}|$ ) превышающей порог перехода от периодического движения доменов к хаотическому; два импульса подсветки подавались с временной задержкой  $\tau_1 = var$  и  $\tau_2 = var$  для регистрации мгновенного вида динамических

ДС в выбранные моменты времени<sup>1)</sup>. После получения каждой фотографии аналогичная процедура повторялась для других значений  $\tau_2$ . Приведенные далее результаты относятся к ДС с симметрией  $Pab2$ ; для структур с симметрией  $P6$  экспериментальные данные аналогичны.

Анализ вида динамических ДС при  $|\tilde{H}| > |\tilde{H}_{cr}|$  для различных  $\tau_2$  показывает, что причиной перехода от самоорганизации к хаотическому движению является деление гантелевидных доменов путем разрыва доменных границ (ДГ). Это иллюстрируют фотографии рис.1, полученные при  $|\tilde{H}| = 100 \text{ Э}$ ,  $|\tilde{H}_{cr}| \approx 90 \text{ Э}$ ,  $\tau_1 = 0,8 \text{ мкс}$ ,  $\tau_2 = 4,0 \text{ мкс}$  (рис.1а) и  $4,4 \text{ мкс}$  (рис.1б); период ДС составлял  $\approx 90 \text{ мкс}$ . В идеальных условиях (однородность поля подмагничивания, отсутствие дефектов и т.д.) разрыв ДГ происходил бы одновременно у всех доменов и переход к хаосу сопровождался бы удвоением их числа<sup>2)</sup>, то есть удвоением волнового вектора  $k$  двумерной решетки. Такой сценарий перехода к хаосу аналогичен сценарию Фейгенбаума [4], однако в нашем случае удвоение периода происходит не в пространстве частот, а в  $k$ -пространстве.



Рис.1. Фотографии доменных структур с исходной симметрией  $Pab2$  в момент разрыва (а) и после разрыва (б) доменных границ.  $\tilde{H} = 100 \text{ Э}$ ,  $\tau_1 = 0,8 \text{ мкс}$ ,  $\tau_2 = 4,0 \text{ мкс}$  (а) и  $\tau_2 = 4,4 \text{ мкс}$  (б)

На всех стадиях движения форма ДГ хорошо описывается кривыми Кассини, уравнение для которых имеет вид [5]

$$(x^2 + y^2)^2 - 2c^2(x^2 - y^2) + (c^4 - a^4) = 0, \quad (1)$$

где параметр  $c$  определяет расстояние между фокусами  $F_1 = (+c, 0)$  и  $F_2 = (-c, 0)$ , произведение расстояний от которых до любой точки  $M$  на кривых есть величина постоянная, причем  $(MF_1 MF_2)^{1/2} = a$ . При  $a > c\sqrt{2}$  и  $c < a < c\sqrt{2}$  кривые представляют собой соответственно выпуклые овалы и овалы с перетяжкой ("гантели"); условие  $a = c$  определяет сепаратрисную самопересекающуюся кривую (лемнискату), для которой  $(x^2 + y^2)^2 = 2c^2(x^2 - y^2)$ .

<sup>1)</sup>Значение  $\tau_1$  обычно выбиралось небольшим ( $\ll 1 \text{ мкс}$ ), поэтому вид динамических ДС, фиксируемых первым импульсом подсветки, незначительно отличался от вида статических ДС, см. [3].

<sup>2)</sup>Это относится к структурам с симметрией  $P2ab$ ; для ДС с симметрией  $P6$  число доменов при переходе к хаосу возрастает не в два, а в  $7/4$  раз, поскольку круглые ЦМД не испытывают деления.

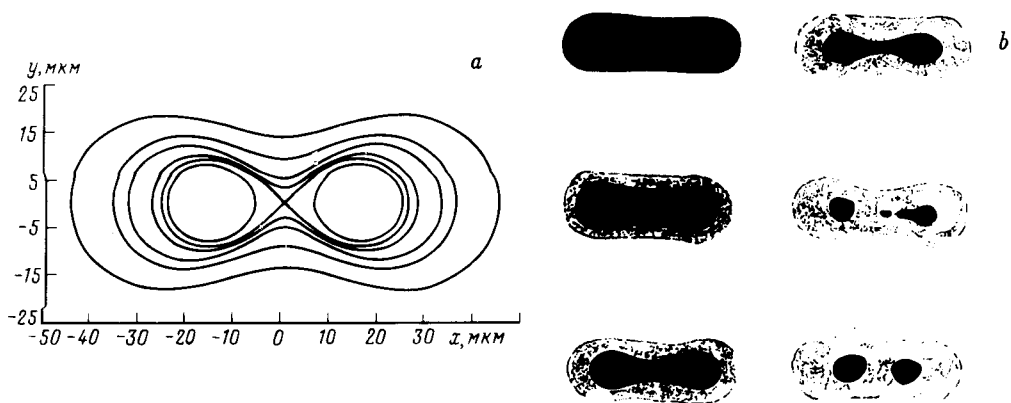


Рис.2. Серия кривых Кассини (а), аппроксимирующих форму реально наблюдаемых доменов (b) в моменты времени  $\tau_2 = 0; 2,0; 2,6; 3,2; 4,0; 4,4$  мкс при  $\dot{H} = 100$  Э. Значения (а,с) в микронах в соответствующие моменты времени составляют (33,2; 30,37), (26,2; 24,7), (23,6; 23,1), (19,9; 19,7), (18,4; 18,4), (17,0; 18,0), длина большой оси исходного домена  $\approx 90$  мкм

При  $a < c$  уравнение (1) описывает две замкнутые кривые, лежащие внутри сепаратрисы.

В результате статистической обработки большого числа экспериментальных данных были получены временные зависимости большой и малой осей доменов, по которым рассчитывались параметры  $a$  и  $c$  для аппроксимирующих кривых Кассини. Результаты расчета, представленные на рис.2а, демонстрируют хорошее совпадение аппроксимирующих кривых с наблюдаемой в различные моменты времени формой границ доменов, показанных на рис.2b. Это дает возможность при теоретическом описании процесса сжатия и деления доменов использовать криволинейные координаты, в которых роль одного семейства координатных линий играют софокусные кривые Кассини<sup>3)</sup>; второе семейство (ортогональных) кривых, как нетрудно убедиться, описывается однопараметрическим уравнением

$$(x^2 - y^2) - 2\zeta xy - c^2 = 0, \quad (2)$$

где  $\zeta$  – параметр семейства, принимающий любые вещественные значения. Кривые, ортогональные к кривым Кассини, являются равнобочными гиперболой, пересекающимися в точках  $F_1$  и  $F_2$ . Соответствующая система ортогональных криволинейных координат построена на рис.3 на плоскости  $(x/c, y/c)$ .

Заметим, что показанная на рис.3 сетка может быть получена с помощью конформного отображения типа [6]

$$w = u + iv = \ln(z^2 - c^2), \quad (3)$$

где  $z = x + iy$ , а  $w$  – комплексный потенциал. Линии  $u = \text{const}$  отображаются на плоскость  $(x, y)$  в виде кривых Кассини (эквипотенциалей), а линии  $v = \text{const}$  – в виде ортогональных кривых (линий тока), причем параметр  $\zeta$  из уравнения (2) задается соотношением  $\zeta = \text{ctg}(v)$ . Существование отображения

<sup>3)</sup>Кривые Кассини, аппроксимирующие форму ДГ в различные моменты времени, не являются софокусными (см. рис.2), поэтому в динамических уравнениях в качестве дополнительной обобщенной координаты должно фигурировать расстояние между фокусами.

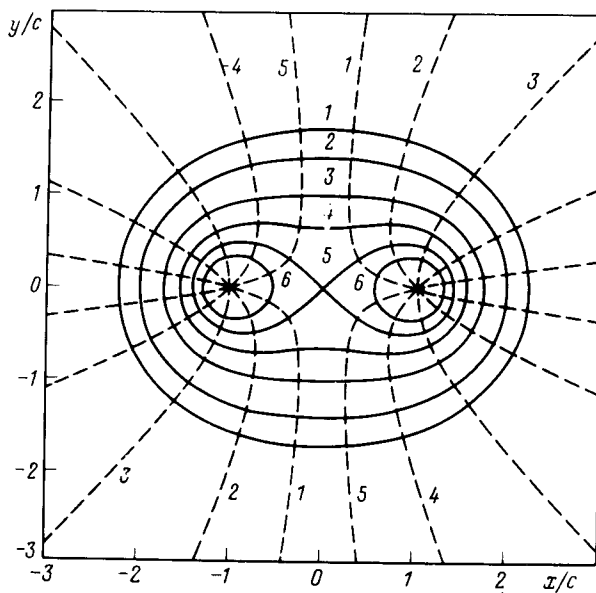


Рис.3. Система ортогональных криволинейных координат с эквипотенциалами в виде кривых Кассини при  $c = 1$  (сплошные линии) и линиями тока (пунктир), перпендикулярными к ним. Значения  $a$  для эквипотенциалей 1-6 составляют соответственно 2; 1,73; 1,41; 1,19; 0,84; значения  $\zeta$  для линий тока 1-5 соответственно -2; -0,5; 0; +0,5; +2

(3), позволяющего описать форму возникающих в процессах динамической самоорганизации доменов с помощью аналитической функции, подтверждает наличие тесной связи между синергетикой и гомотопической топологией [7].

Авторы благодарят Американское Физическое Общество за финансовую поддержку данной работы.

1. Ф.В.Лисовский, Е.Г.Мансветова, Письма в ЖЭТФ 55, 34 (1992).
2. Ф.В.Лисовский, Е.Г.Мансветова, А.В.Николаев, Е.П.Николаева, Препринт ИРЭ АН СССР N1(569), 1992, М.
3. Ф.В.Лисовский, Е.Г.Мансветова, Е.П.Николаева, А.В.Николаев, ЖЭТФ 103, 213 (1993).
4. М.Ж.Feigenbaum, J. Stat. Phys. 19, 25 (1978).
5. И.Н.Бронштейн, К.А.Семендяев. Справочник по математике, 1957, М.: ГИТТЛ.
6. В.Коппенфельс, Ф.Штальман. Практика конформных отображений, пер. с нем., 1963, М.: ИИЛ (W.Koppenfels, F.Stallman. Praxis der Konformen Abbildung, 1959, Berlin, Springer-Verlag).
7. Б.А.Дубровин, С.П.Новиков, А.Т.Фоменко. Современная геометрия, 1979, М.: Наука.